



CIMS³
29 Nov. - 7 Dic. 2016
BUENOS AIRES, ARGENTINA

WORKSHOP
Ciudades Inteligentes:
Modelado y Simulación de
Sociedades Sustentables

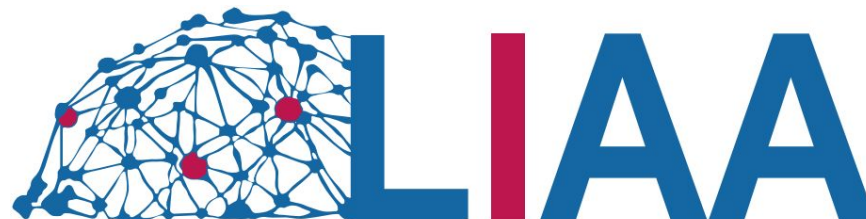


El pulso semántico de la ciudad

Diego Fernández Slezak

Dept. De Computación - FCEyN - UBA

Instituto de Investigación en Ciencias de la Computación - CONICET



Laboratorio de Inteligencia
Artificial Aplicada



0

10

?5?



2

0
1

?23?

mucho

poco

¿abundante?



mucho
poco

mano **cara**
pie **oreja**

manzana
banana^{pera}

rojo
violeta
amarillo

mucho

poco

manzana

banana^{pera}

¿blanco?

mano

pie

cara

oreja

rojo

violeta

amarillo

mucho
poco

manzana

banana^{pera}

¿mandarina?

mano

rojo

cara

violeta

pie

oreja

amarillo

mucho
poco

manzana

banana^{pera}

¿DEMOCRACIA?

mano

cara

pie

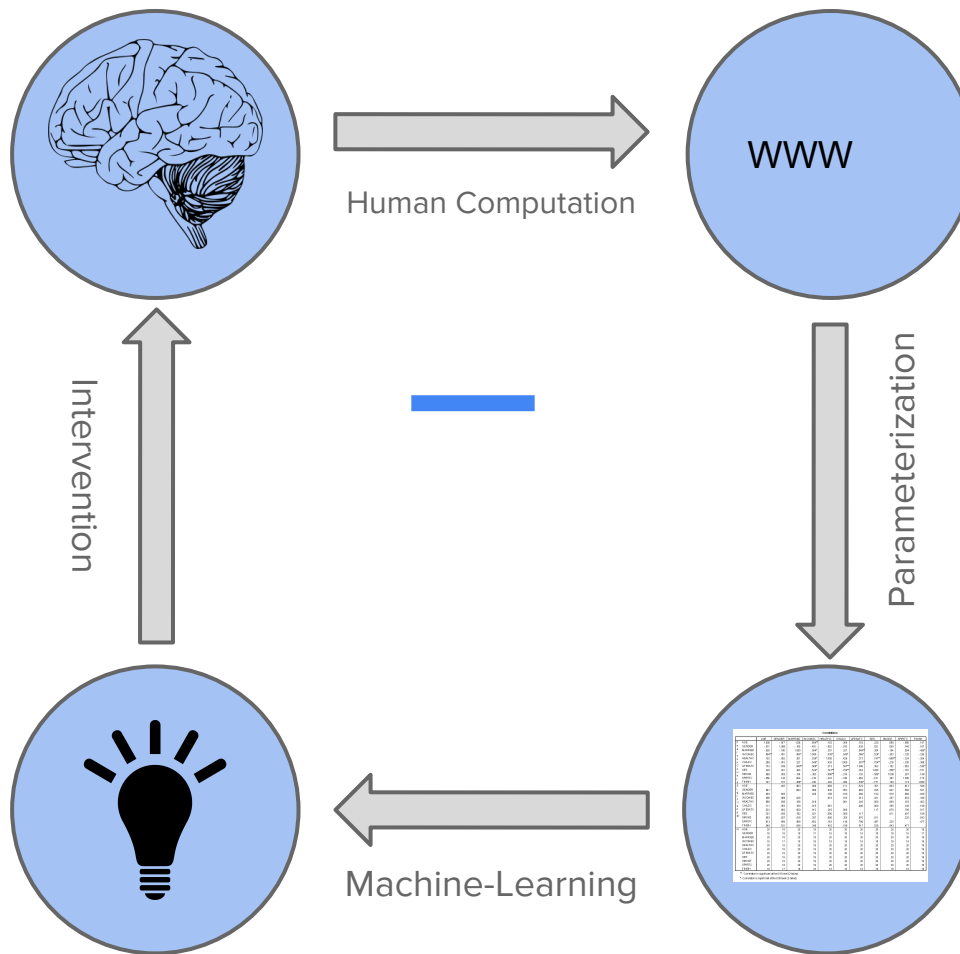
oreja

rojo

violeta

amarillo

Caracterización computacional de estados mentales a escala masiva



Research Topics

Decision-making

- Chess: massive repository of decisions
- Novel decision-making models

Computational Psychiatry

- Speech: a window to the mind
- Prognosis in a box
- EEG+ Signal complexity as a marker

Education

- MateMarote: massive-scale gaming interventions

Social Cognition

- Evolution of introspective thought: society upheavals
- Dynamics of semantic organization using social media

AI
NLP
Datamining
NeuroScience

Research Topics

Decision-making

- Chess: massive repository of decisions
- Novel decision-making models

Computational Psychiatry

- Speech: a gateway to the mind
- Prognosis: a signal
- EEG+ Signal complexity as a marker

AI
NLP
Datamining
NeuroScience

Educational

- MateMaro: massive-scale gaming interventions

Social Cognition

- Evolution of introspective thought: society upheavals
- Dynamics of semantic organization using social media

Colaboradores

Decision-making



Education



Computational Psychiatry



Social Cognition





Twitter: espacios semánticos colectivos en tiempo real

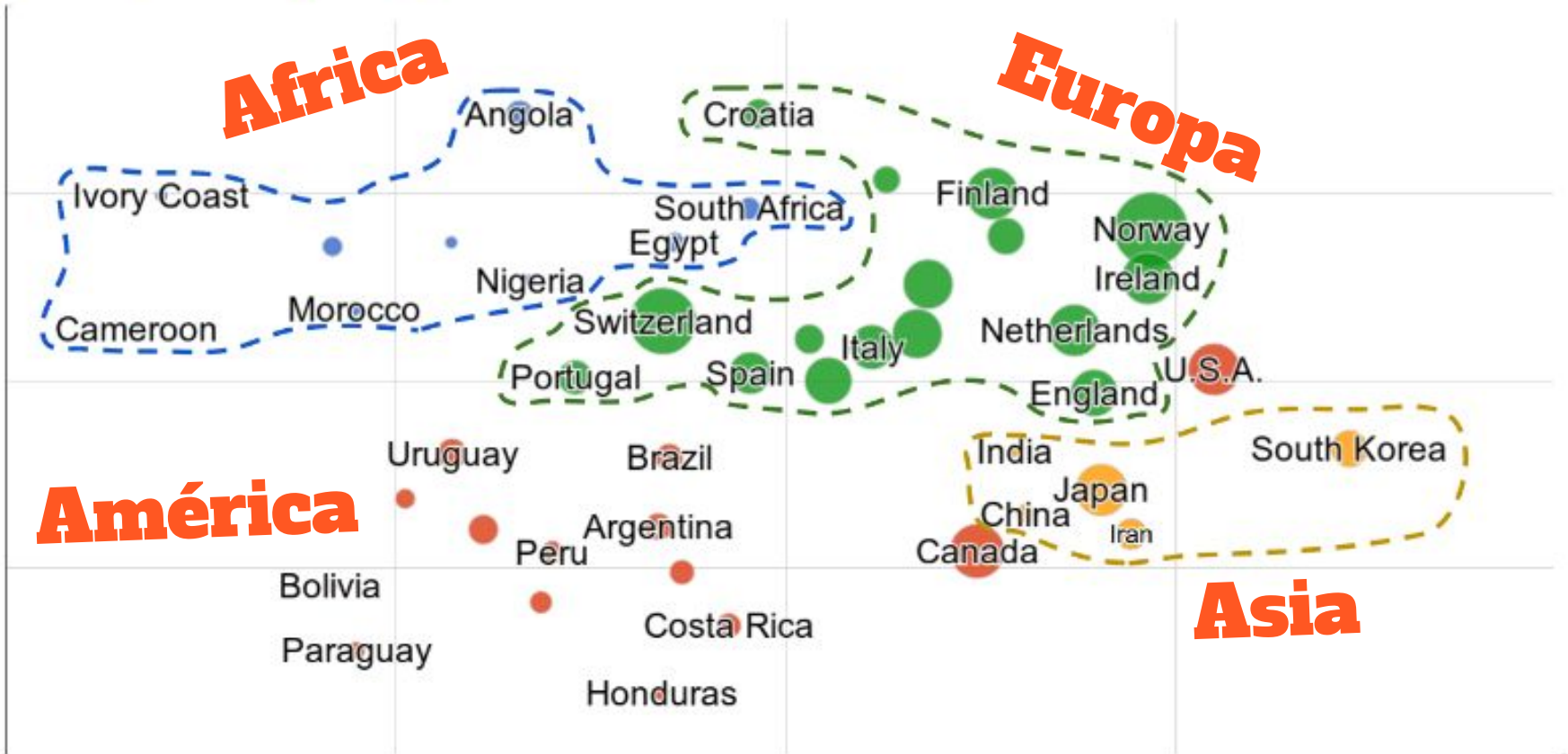
Twitter Semantic Similarity

$$\Phi(w) = \left(\frac{\sum_{i=1}^{N-1} (\tau_{i+1}(w) - \tau_i(w))}{N-1} \right)^{-1}$$

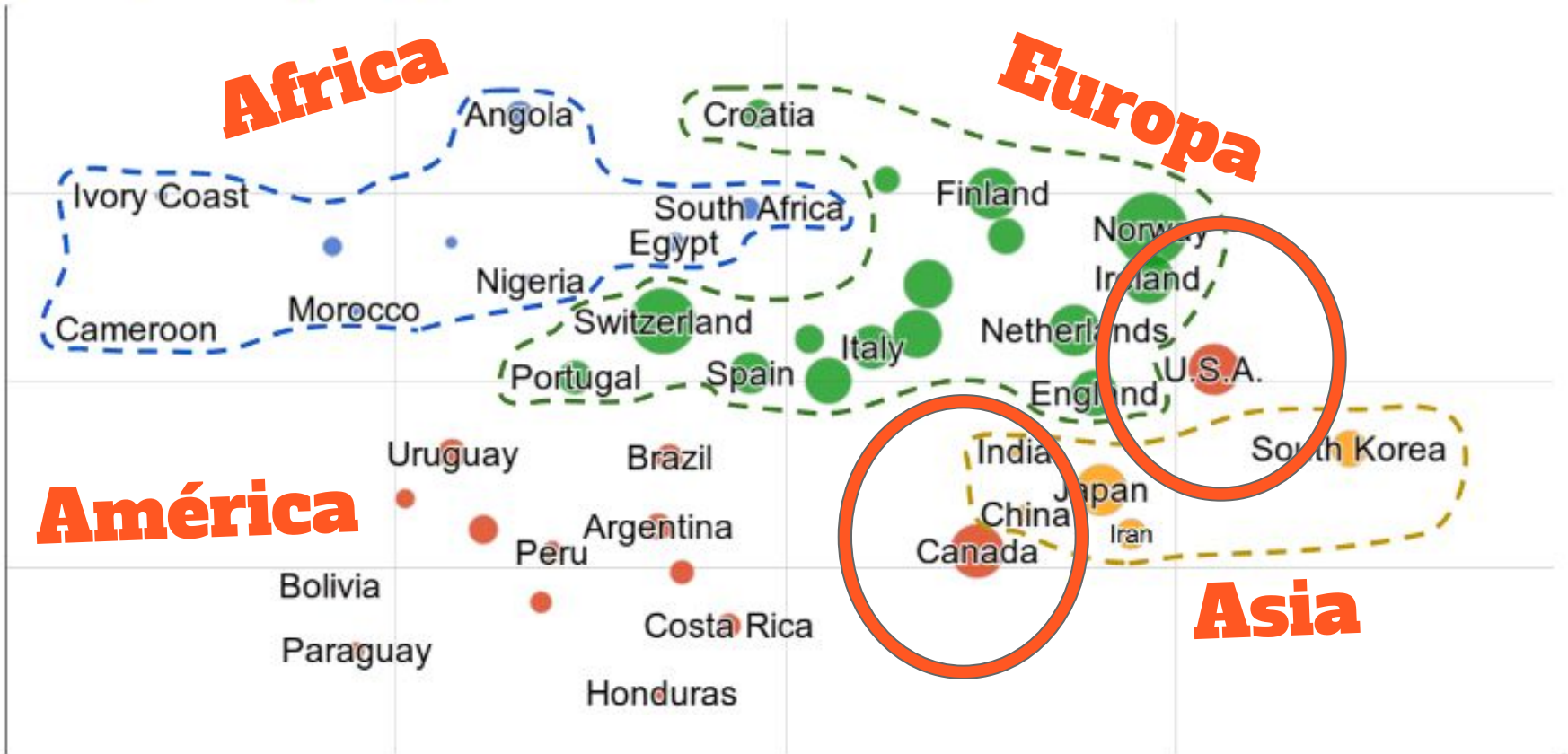
$$TSS(w_1, w_2) = \left(\frac{\Phi(w_1 \wedge w_2)}{\max(\Phi(w_1), \Phi(w_2))} \right)^\alpha$$

Carrillo, Facundo, et al. "Fast distributed dynamics of semantic networks via social media." *Computational intelligence and neuroscience* 2015 (2015): 50.

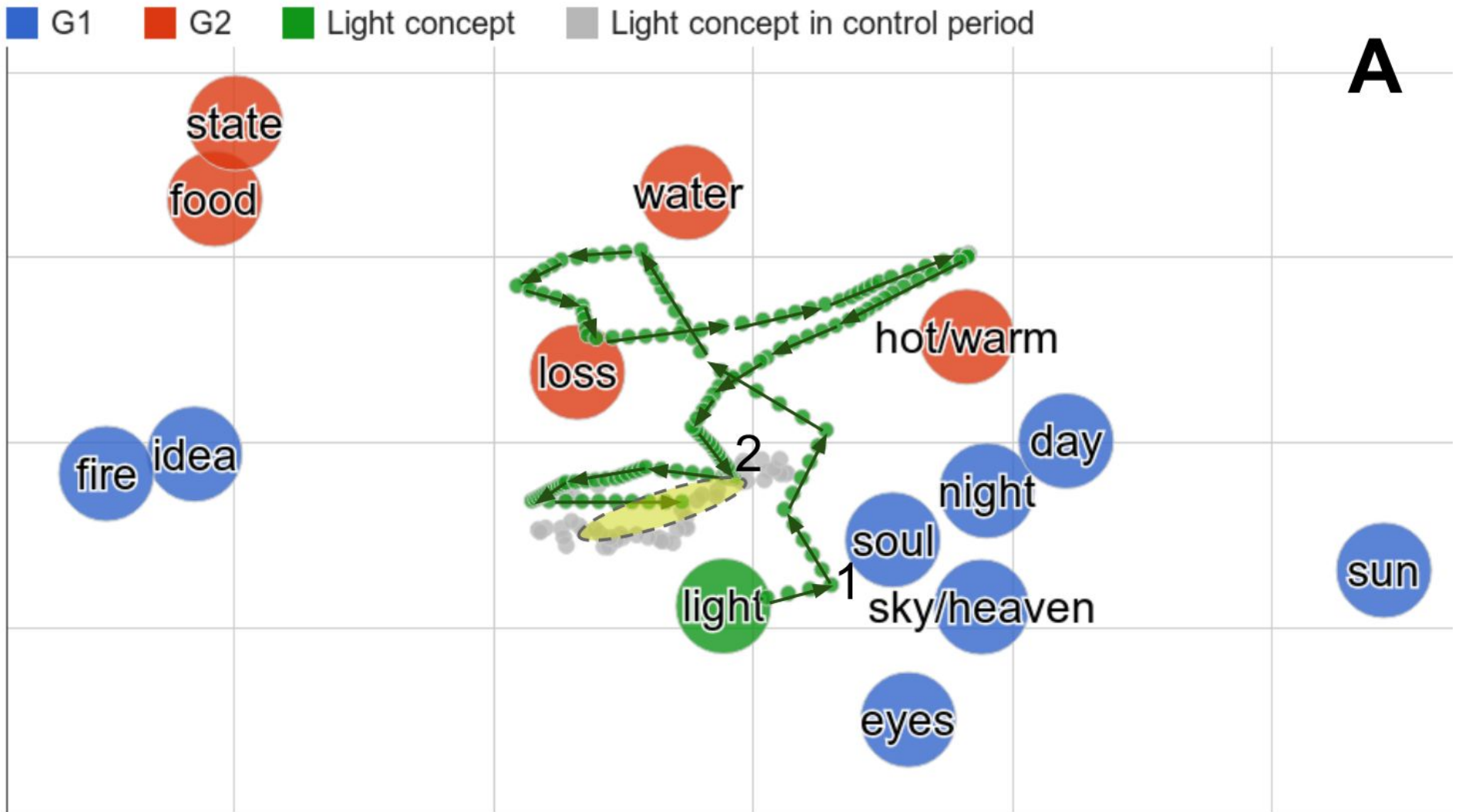
El mapa mundial según Twitter



El mapa mundial según Twitter



Reacción urbana ante cortes de luz

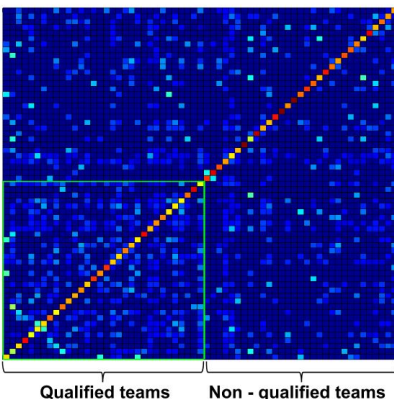


Dinámica ante eventos salientes

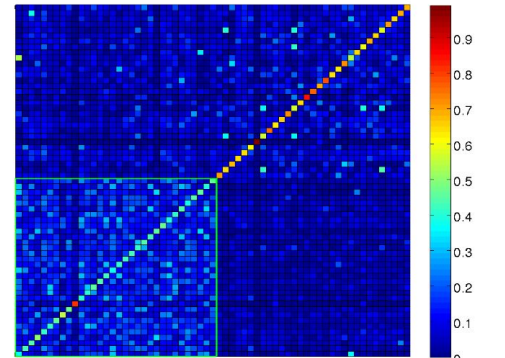
Sorteo para el mundial de Brasil 2014

A

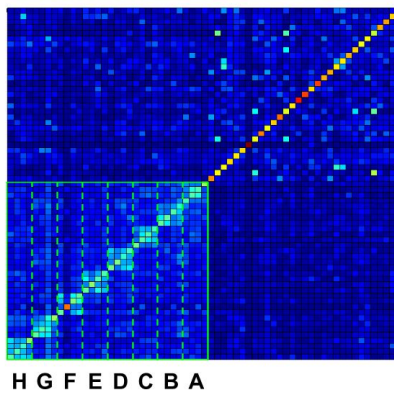
3 days before the draw (D-3)



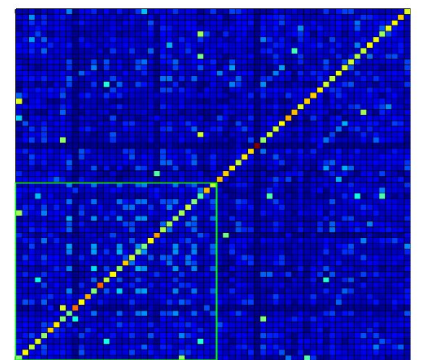
Just before the draw (D-1)



Just after the draw (D+1)

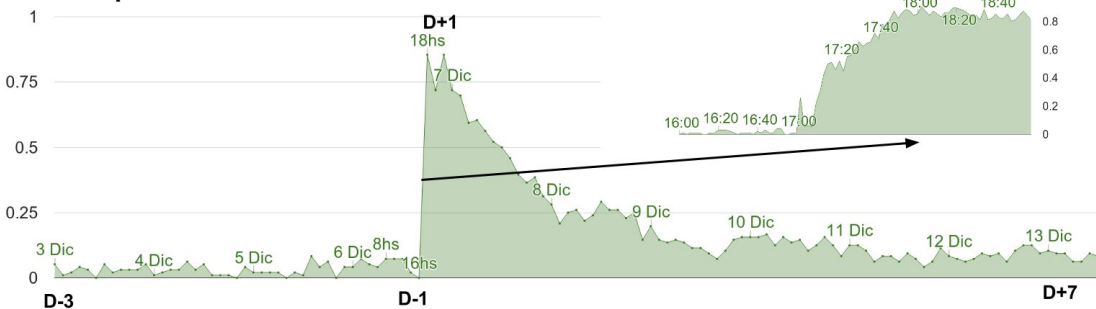


A week after the draw (D+7)



B

Groups classification



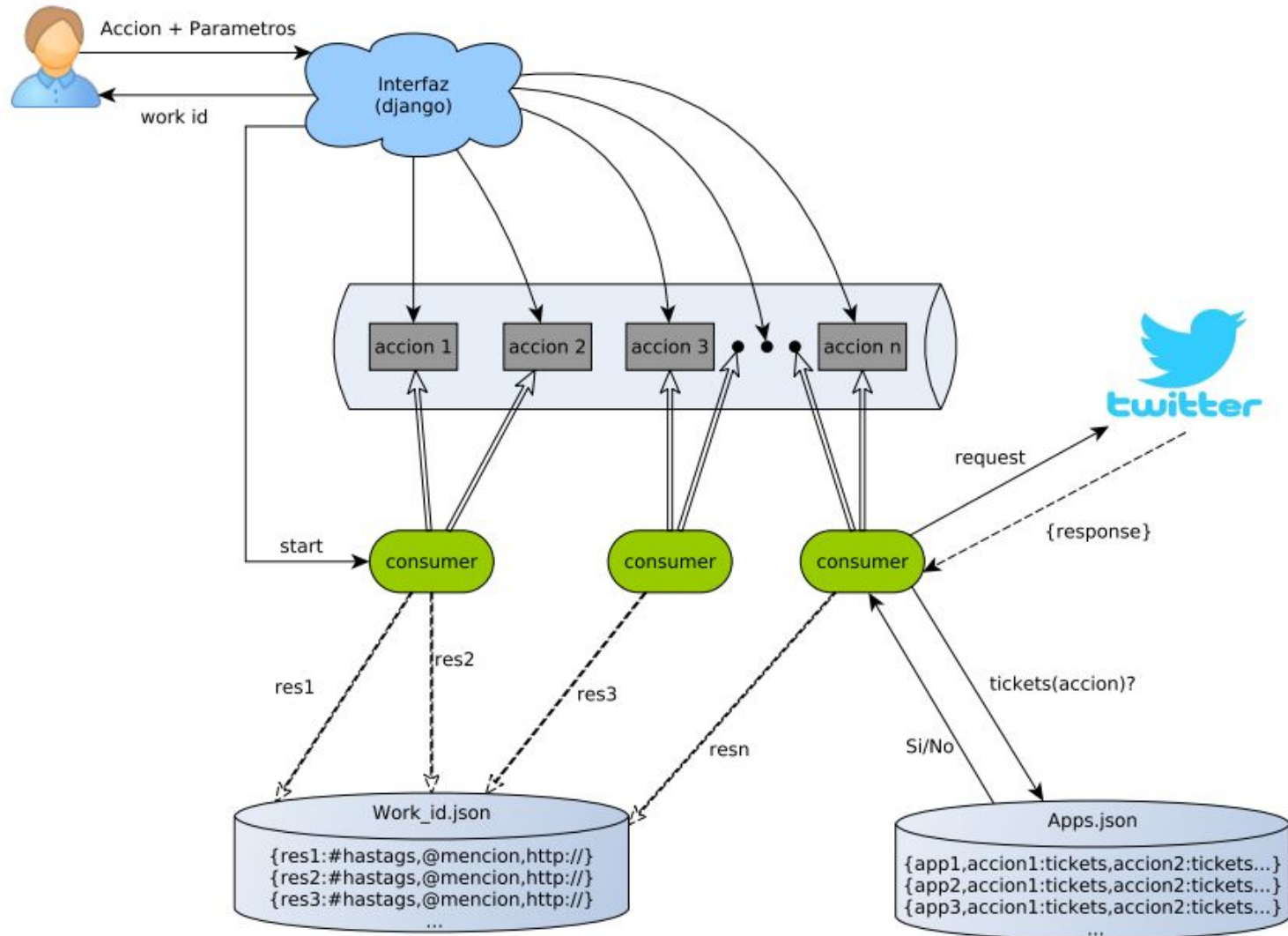
Inferencia de atributos en Twitter

Personalización del ciudadano

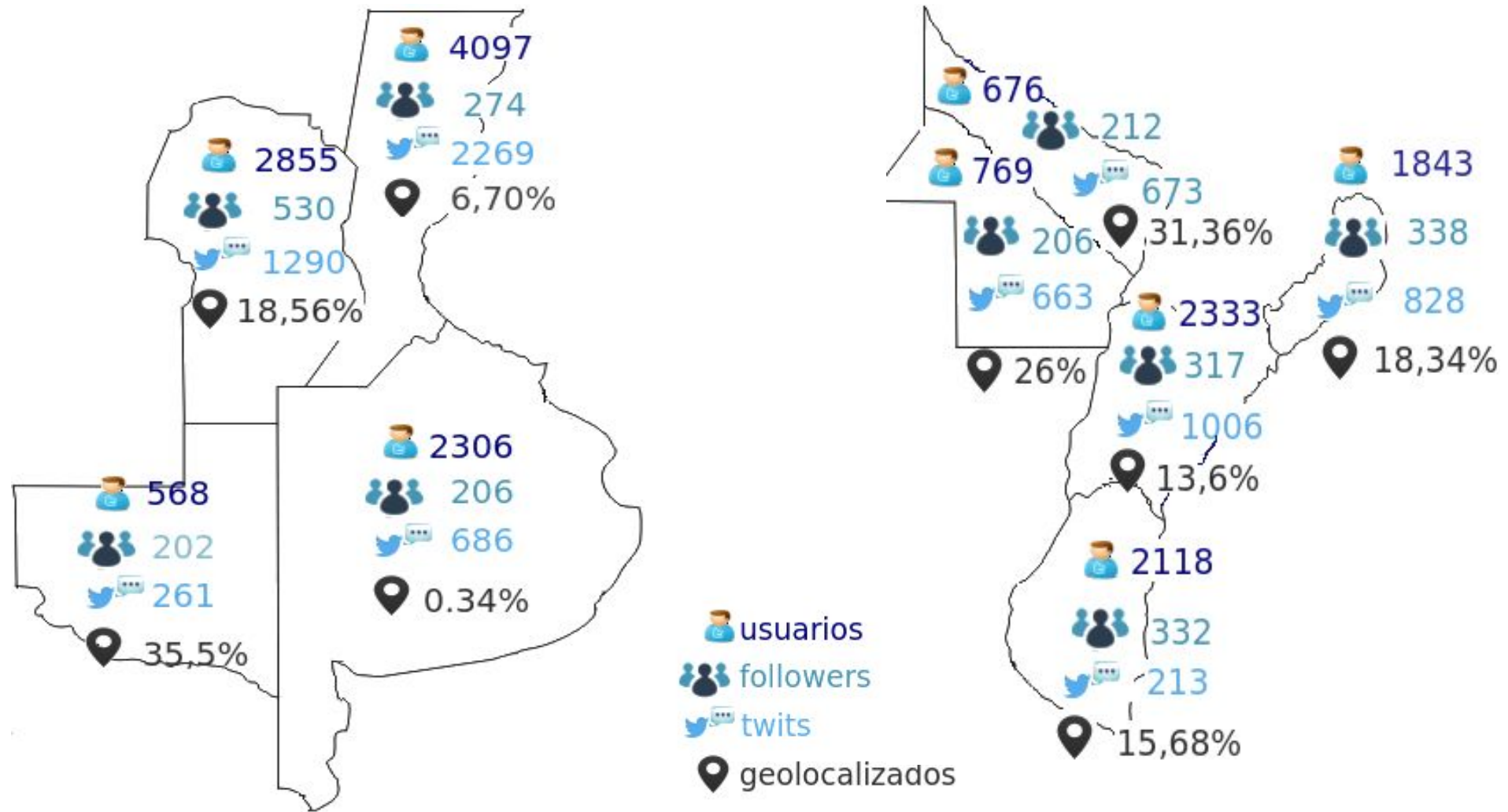
Inferencia de atributos

- **Geolocalización**
- **Género**
- **Rango de edad**
- **Cronotipo**

Hackeando twitter



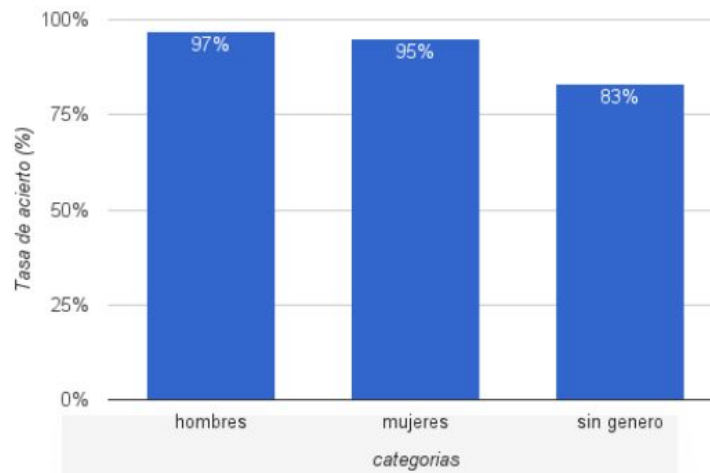
Muy pocos Twits geolocalizados



Patrones de localización de followers indican localización

Inferencia de atributos

- Geolocalización: más del 89% en todas las provincias



- Género

categorías	13-18	19-29	30-40	40+
Tasa acierto	94 %	89 %	85 %	90 %
users	308	316	300	374

- Rango de edad

Infiriendo cronotipo

MEQ: Buho o Alondra?

- Horne JA, Ostberg O. 1976. A self-assessment questionnaire to determine morningness-eveningness in human circadian rhythms. *Int J Chronobiol* 4(2):97-110.

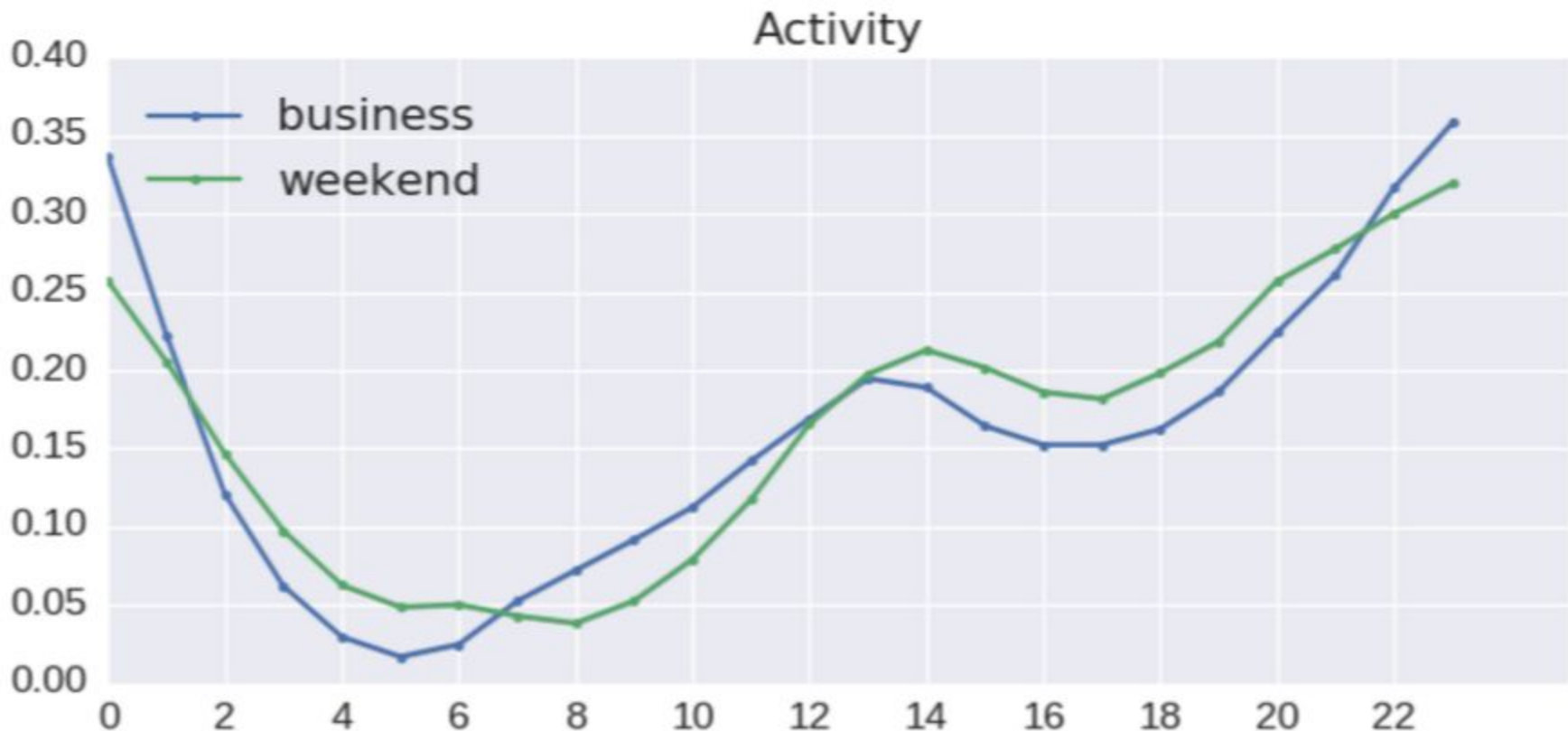
Resultados preliminares: el cronotipo afecta la toma de decisiones (en tiempo y calidad)

- Leone, María Juliana, et al. "Time to decide: Diurnal variations on the speed and quality of human decisions." *Cognition* 158 (2017): 44-55.

Datos TEDx 2015

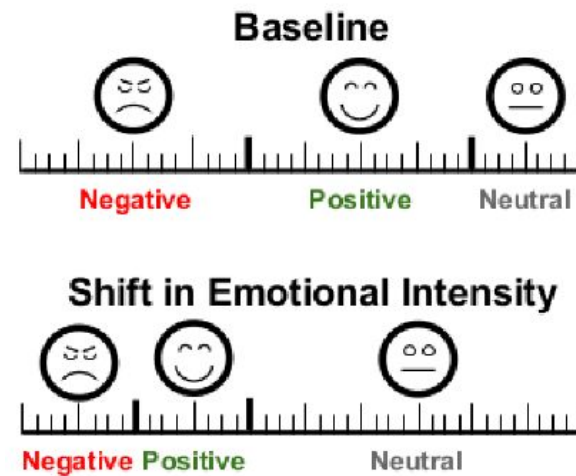
- (n=180). Con datos de edad, MEQ y MSFsc
- nTweets/sujeto: 1591 +- 1216 Mean+-SD
- MEQ score: 46.9389+-9.3934
- Edad: 29.3777 +- 8.5215
- Género: 53% MALE, 47% FEMALE

Actividad en Twitter

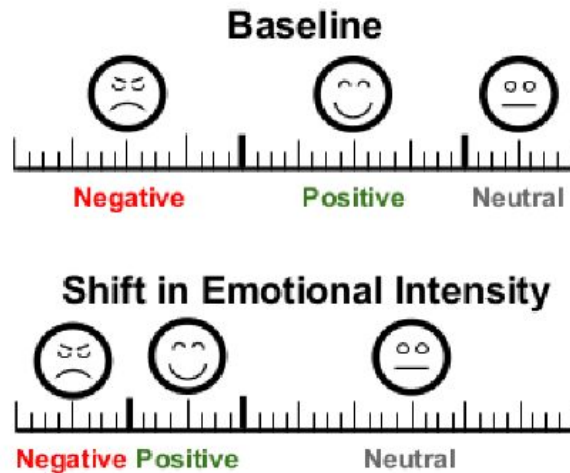


¿Cómo cambia la actividad de acuerdo al cronotipo?

Complejidad emocional



Complejidad emocional



List of words with high emotional value:
Dictionary of Affect in Language (English DAL)

- **Positive:** promise, talking, breathing, loving, satisfied, poet, safely, education
- **Negative:** steals, objections, drop, discrepancy, slaves, argues, fails

Complejidad emocional



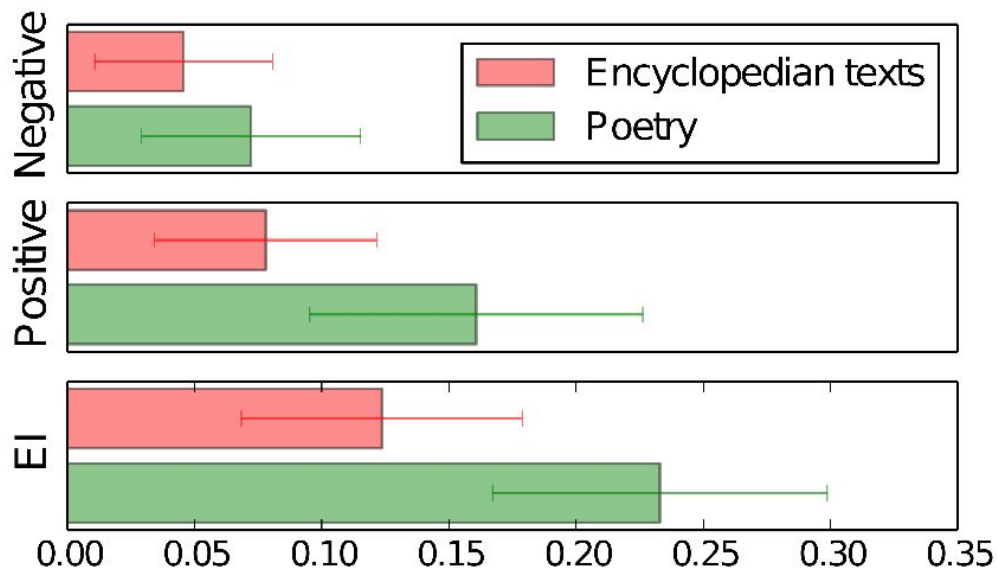
$$EI(s) = \frac{\sum_{i=0}^N (dal_+(s_i) + dal_-(s_i))}{N}$$

High emotional content: Poems

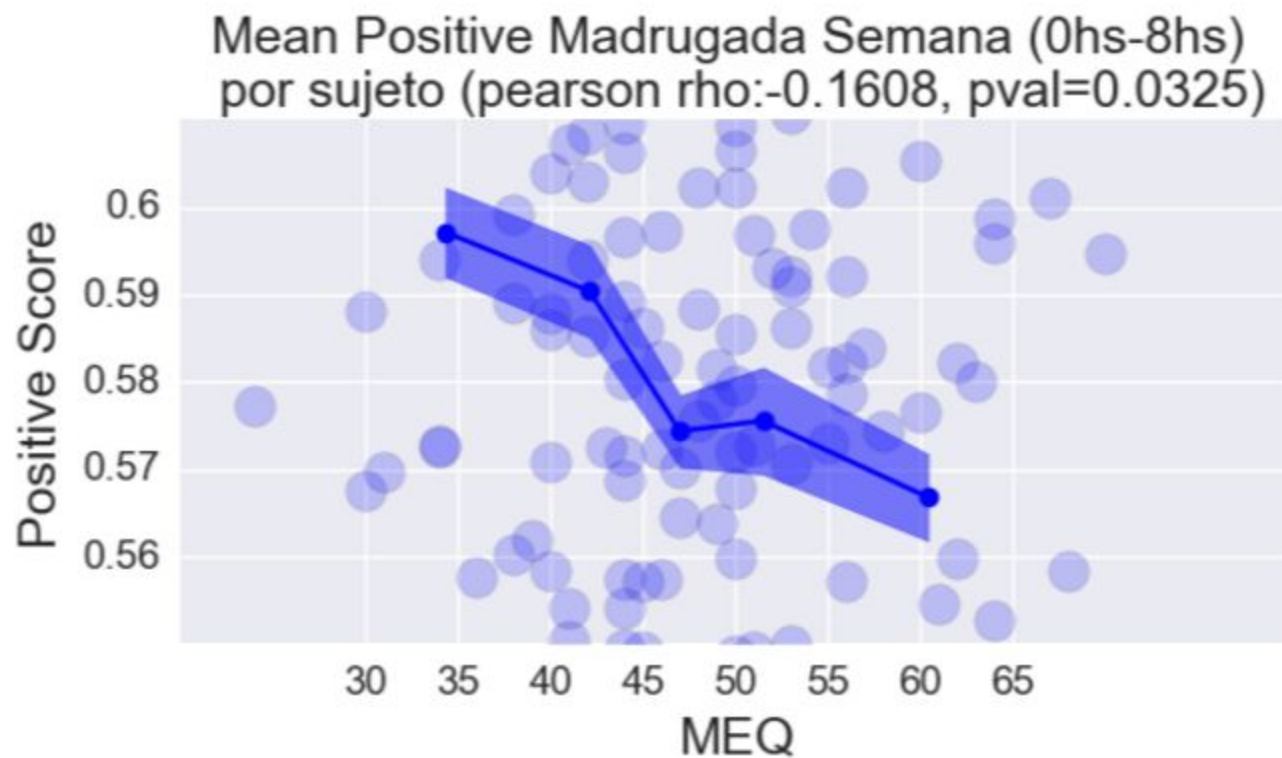
Low emotional content: Wikipedia

List of words with high emotional value:
Dictionary of Affect in Language (English DAL)

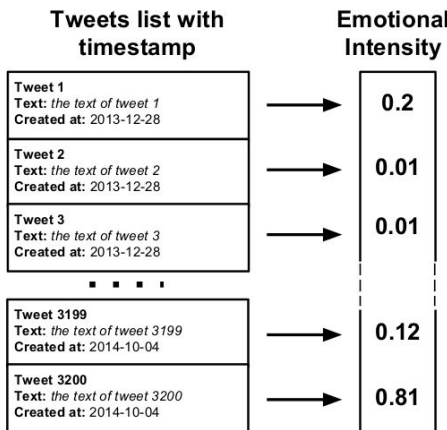
- **Positive:** promise, talking, breathing, loving, satisfied, poet, safely, education
- **Negative:** steals, objections, drop, discrepancy, slaves, argues, fails



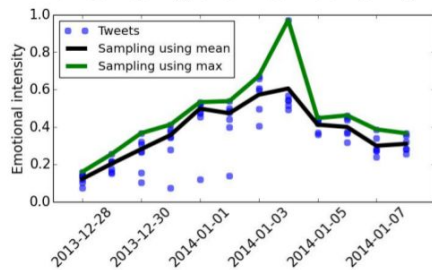
Alondras más positivas de mañana



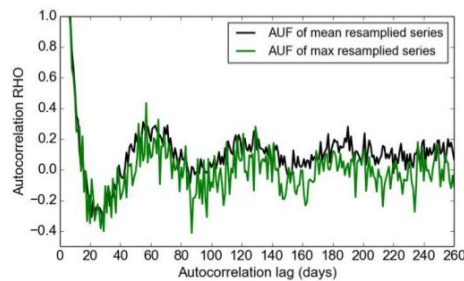
Otras inferencias



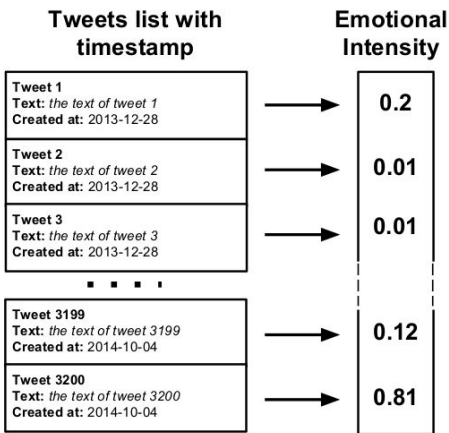
Emotional Intensity Series *group by day*
max sampling and mean sampling



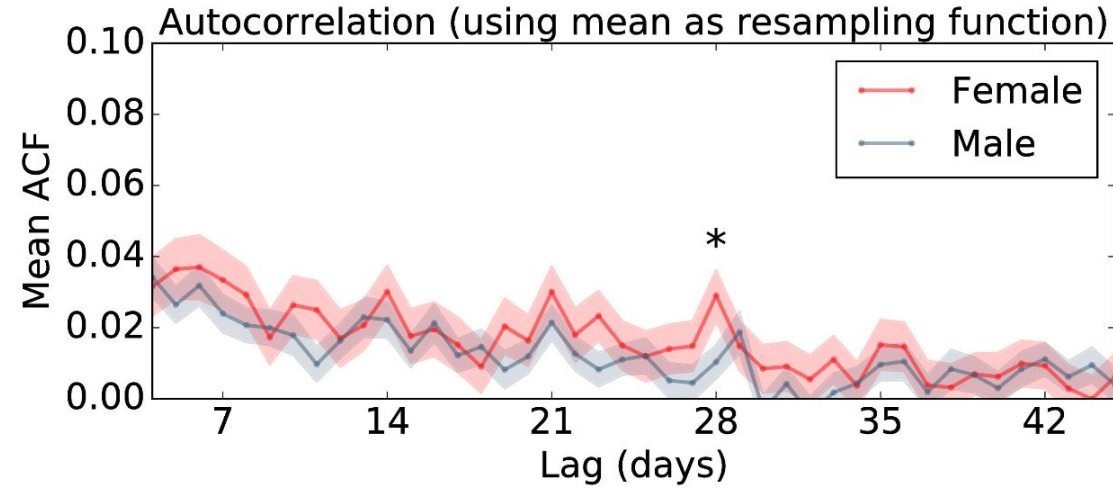
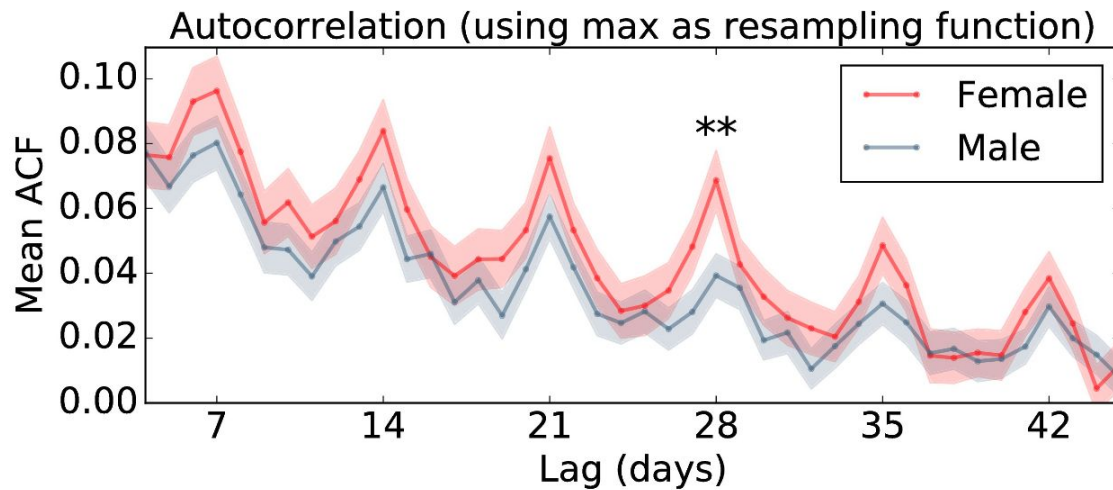
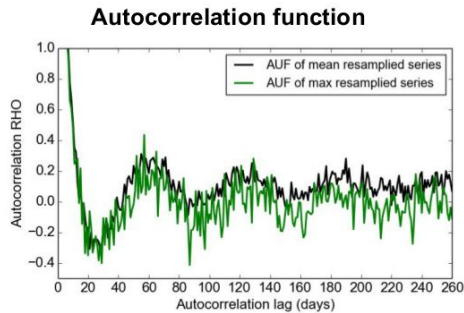
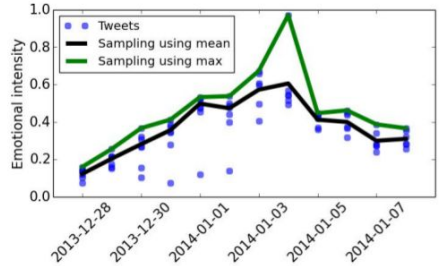
Autocorrelation function



Otras inferencias



Emotional Intensity Series group by day
max sampling and mean sampling



Conclusiones

Usar redes sociales para medir el **pulso** de la ciudad

Pulso colectivo: eventos salientes, seguimiento de pautas

Personalización del ciudadano

- Inferencia de localización, género y rango de edad
- Estimación de actividad en redes sociales, y ciclo circadiano
- Detección en cambio de emotividad

Hacia dónde vamos...

Colaboración con la empresa IMPRONTA: mapeando el pulso de Buenos Aires,



Big Spatial Data

¡Muchas gracias!

Diego Fernández Slezak

dfslezak@dc.uba.ar

<https://www.facebook.com/LIAA.UBA>



Laboratorio de Inteligencia
Artificial Aplicada